

طراحی شبکه‌های تراشه‌های کم‌توان بر بستر کاربردهای هوش مصنوعی

نادیا سهرابی، امیر باوفای طوسی و مهدی صدیقی

بزرگ‌تر می‌شوند و تعداد لایه‌ها و سرعت پردازش آنها افزایش می‌یابند، مصرف انرژی آنها نیز افزایش می‌یابد. پژوهشگران به دنبال راه حلی برای کاهش و مدیریت این مصرف انرژی هستند.

از سوی دیگر، برخی از کاربردها می‌توانند اندکی کاهش دقت در محاسبات خود را تحمل کنند، بدون این که عملکرد کلی آنها دچار آسیب جدی شود. چنین تحمل خطای در یک الگوی طراحی و پیاده‌سازی جدید به نام محاسبات تقریبی^۱ می‌تواند مورد استفاده قرار گیرد. ایده اصلی محاسبات تقریبی این است که با ایجاد تغییراتی در مدار یا کد، بین دقت و مصرف انرژی یا برخی پارامترهای دیگر مصالحه‌ای برقرار شود.

یکی از کاربردهایی که استفاده از محاسبات تقریبی در آن مناسب است، پیاده‌سازی شبکه‌های عصبی است [۱]. مطالعات نشان داده‌اند در شبکه‌های عصبی افزونگی^۲ وجود دارد [۲]: بنابراین قابلیت تحمل پذیری خطای نیز می‌تواند وجود داشته باشد که این امر زمینه را برای به کارگیری محاسبات تقریبی مناسب می‌سازد. پس می‌توان نتیجه گرفت که در شبکه‌های عصبی، ایجاد مصالحه‌ای بین دقت و حجم محاسبات یک نیاز مهم است که طراحان را به چالش می‌کشد تا طراحی با کارایی بالاتر و بهره‌وری انرژی بهتر ارائه دهند.

ممولاً برای تسريع در پردازش داده‌ها و الگوریتم‌های شبکه‌های عصبی از پردازنده‌های خاص منظوره، پردازنده‌های گرافیکی و یا شبکه‌های سخت‌افزاری استفاده می‌شود. نتایج مقایسه‌ها نشان می‌دهد که طراحی ASIC به دلیل انعطاف‌پذیری بسیار کم و پیچیدگی طراحی، معمولاً در کاربردهای خاص منظوره مورد استفاده قرار می‌گیرد. همچنین تراشه‌های FPGA^۳ نسبت به پردازنده‌های گرافیکی کارایی بالاتر و توان مصرفی پایین‌تری دارند؛ اما طراحی آنها پیچیده‌تر است [۳]. سیستم‌های قابل بازیکردنی مانند تراشه‌های FPGA به دلیل قابلیت برنامه‌ریزی مجدد، هزینه کمتر و سرعت توسعه و طراحی سریع‌تر نسبت به تراشه‌های ASIC برای کاربردهای یادگیری عمیق و هوش مصنوعی مناسب‌تری هستند. استفاده از تراشه‌های قابل بازیکردنی در طراحی شبکه‌های یادگیری عمیق مرسوم بوده است؛ اما از نظر مصرف انرژی چالش‌های زیادی و توان مصرفی بالایی دارند. به همین دلیل پژوهش‌هایی برای کاهش توان مصرفی آنها ارائه شده است [۴].

در پژوهش‌هایی پیشین برخی از رویکردهای رایج برای طراحی تقریبی شبکه‌های عصبی مانند هرس وزن^۴ و کاهش عرض بیتی داده را می‌توان به عنوان نمونه‌هایی از تقریب‌سازی محاسبات در نظر گرفت [۵]. همچنین

چکیده: یکی از روش‌های یادگیری ماشین شبکه‌های عصبی می‌باشد که در کاربردهایی نظری پردازش تصویر به کار می‌روند. یکی از چالش‌های شبکه‌های عصبی، حجم بالای محاسبات آنهاست. به همین دلیل معماری‌های زیادی برای این گونه کاربردها ارائه شده که راه حل‌هایی برای محاسبات پیچیده آنها ارائه می‌دهند. معمولاً برای تسريع الگوریتم‌های شبکه‌های عصبی از شبکه‌های سخت‌افزاری قابل بازیکردنی مانند تراشه‌های FPGA استفاده می‌شود؛ اما مشکل اصلی این تراشه‌ها توان مصرفی نسبتاً بالای آنهاست. برای کاهش توان مصرفی در تراشه‌های FPGA از تکنیک محاسبات تقریبی می‌توان استفاده کرد. ایده اصلی محاسبات تقریبی این است که با ایجاد تغییراتی در مدار یا کد، بین دقت و مصرف انرژی مصالحه‌ای برقرار شود. در این پژوهش یک شبکه عصبی کانولوشنی برای تشخیص ارقام دستنویس به صورت دقیق و تقریبی با هدف بهبود توان مصرفی طراحی و پیاده‌سازی شده است. ایده تقریب‌سازی در بخش محاسبات جمع کننده شبکه عصبی ارائه شده است. این روش با جلوگیری از انتشار رقم نقلی در بیت‌های پایین جمع کننده، توان مصرفی را کاهش می‌دهد. نتایج مقایسه شبکه عصبی به صورت دقیق و تقریبی نشان می‌دهد که با تقریب‌سازی ۶ بیت وزن پایین جمع کننده، توان مصرفی ۴۳/۷۵٪ کاهش می‌یابد و هیچ خطایی رخ نمی‌دهد.

کلیدواژه: جمع کننده تقریبی، شبکه عصبی کانولوشنی، طراحی شبکه عصبی تشخیص ارقام دستنویس، محاسبات تقریبی.

۱- مقدمه

امروزه در زمینه یادگیری ماشین، پیشرفت‌های چشمگیری به وجود آمده است. یکی از پرکاربردترین مباحث در زمینه یادگیری ماشین شبکه‌های عصبی می‌باشد. شبکه‌های عصبی در کاربردهای مختلفی مانند پردازش تصویر، تشخیص صدا و فشرده‌سازی تصویر به کار می‌روند و از اهمیت بالایی برخوردار هستند.

شبکه‌های عصبی در هر لایه دارای حجم زیادی از محاسبات هستند و به منظور انجام کارهای پیچیده‌تر و بیشتر، تعداد لایه‌های شبکه‌های عصبی افزایش می‌یابند. این لایه‌ها شامل تعداد زیادی ضرب و جمع هستند که باید با سرعت بالایی انجام شوند. هرچه شبکه‌های عصبی

این مقاله در تاریخ ۲۲ اردیبهشت ماه ۱۴۰۳ دریافت و در تاریخ ۱۶ دی ماه ۱۴۰۳ بازنگری شد.

نادیا سهرابی، دانشکده مهندسی کامپیوتر، دانشگاه صنعتی امیرکبیر، تهران، ایران، (email: nadiasohrabi@aut.ac.ir)

امیر باوفای طوسی (نویسنده مسئول)، دانشکده کامپیوتر، دانشگاه سجاد، مشهد، ایران، (email: abavafat@sadjad.ac.ir)

مهدی صدیقی، دانشکده مهندسی کامپیوتر، دانشگاه صنعتی امیرکبیر، تهران، ایران، (email: msedighi@aut.ac.ir)

1. Approximate Computing

2. Redundancy

3. Field-Programmable Gate Array

4. Weight Pruning

در ادامه این مقاله در بخش دوم پژوهش‌های پیشین و مرتبط در زمینه طراحی شبادهندها و محاسبات تقریبی بررسی شده است. در بخش سوم روش پیشنهادی شامل نوآوری و جزئیات روش شرح داده شده است. در بخش چهارم روش پیشنهادی مورد ارزیابی قرار گرفته و نتایج آن بررسی شده و نهایتاً بخش پنجم به نتیجه‌گیری اختصاص داده شده است.

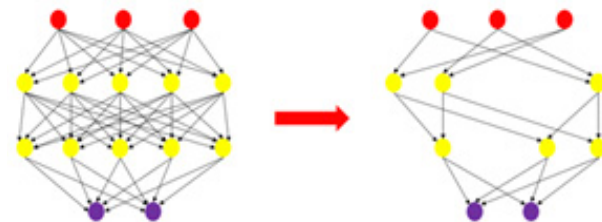
۲- پژوهش‌های پیشین

در این بخش به بررسی برخی مطالعات انجام شده در زمینه شبکه‌های عصبی و محاسبات تقریبی پرداخته شده است. تکنیک‌های محاسبات تقریبی را می‌توان به دو دسته نرمافزاری^۳ [۵] و [۱۵] تا [۱۸] و سختافزاری^۴ [۱۱]، [۱۲] و [۱۹] تا [۲۲] طبقه‌بندی کرد. هنگامی که تقریب در نرمافزار اعمال می‌شود، تغییرات الگوریتمی در کد ایجاد می‌شود تا دقت و توان مصرفی را جبران کند. در روش‌های سختافزاری، تغییرات ممکن است به صورت دستی در سطح مدار یا ظییر کارهای اخیر، با تغییر توصیف طراحی در سطح بالاتر از طریق روش‌های سنتر تا حدودی خودکار انجام شوند. روش هرس وزن، یک تکنیک نرمافزاری [۵] برای از بین بدن گرههای زائد و حفظ اتصالات مفید شبکه‌های عصبی است که می‌تواند منابع محاسباتی و ذخیره‌سازی را کاهش دهد. عملیات هرس وزن سرعت را بهبود می‌بخشد و همچنین انرژی مورد نیاز را برای اجرای شبکه‌های بزرگ ضمن حفظ دقت پیش‌بینی کاهش می‌دهد. این روش ضمن حفظ دقت شبکه، یک شبکه عصبی متراکم را به یک شبکه عصبی تنک تبدیل می‌کند که باعث کاهش محاسبات و میزان حافظه مورد نیاز جهت ذخیره‌سازی وزن‌ها می‌شود. شکل ۱ عملیات هرس وزن را نشان می‌دهد.

روش دیگر تقریب‌سازی، کاهش عرض بیتی داده می‌باشد. عرض بیتی تأثیر بسیاری در ساختار معماري شبادهنده، واحدهای محاسباتی، دقت نتایج و میزان منابع مصرفی دارد. بررسی‌ها نشان می‌دهد که در لایه‌های مختلف شبکه‌های عصبی، عرض بیتی متفاوتی مورد نیاز است. قالب عددی رایج برای کاربردهای یادگیری عمیق دقت تکیتی (۳۲ بیتی) است؛ با این حال قالبهای با دقت کم، مزایایی مانند کاهش پیچیدگی و افزایش کارایی واحدهای محاسباتی دارند که بتوانند عملیاتی مانند ضرب و جمع ماتریس را تسريع کنند.

پژوهش [۱۹] روشی برای شبکه‌های عصبی کانولوشنی ارائه می‌دهد که از محاسبات با دقت ثابت^۵ ابیتی استفاده می‌کند. این روش با کاهش دقت محاسبات از ممیز شناور به دقت ثابت ابیتی، حجم داده‌ها و توان مصرفی را کاهش می‌دهد. این کاهش دقت تأثیر قابل توجهی بر دقت کلی مدل ندارد، زیرا شبکه‌های عصبی کانولوشنی نسبت به کاهش دقت تا حدی مقاوم هستند.

در [۲۰] یک جمع‌کننده تقریبی به نام جمع‌کننده قابل پوشاندن رقم نقلی^۶ ارائه شده است. دلیل ارائه این جمع‌کننده آن است که می‌تواند برای کاربردهای مختلف به صورت پویا دقت جمع را تغییر دهد. در [۱۶]، CMA^۷ برای تراشه‌های ASIC طراحی شده است. در روش [۲۰] برای یک جمع‌کننده هشت‌بیتی CMA از یک بیت MASK برای کنترل انتشار



شکل ۱: عملیات هرس وزن.

در برخی از پژوهش‌های پیشین مانند [۱] و [۶] بر روی نوع دیگری از روش‌های محاسبات تقریبی برای طراحی شبادهنده‌های شبکه عصبی، یعنی جایگزینی مدارهای حسابی با نسخه‌های تقریبی آنها تمرکز شده است.

یکی دیگر از تکنیک‌های متداول در مدارهای CMOS برای صرف‌جویی انرژی، کاهش ولتاژ منبع تغذیه است [۷]؛ اما این تکنیک معایی دارد: (۱) با کاهش ولتاژ، تأخیر گیت‌ها و مدار افزایش می‌دهند. (۲) حاشیه نویز یکی از نگرانی‌های مهم در طراحی مدارها و سیستم‌ها می‌باشد. این تکنیک باعث تخریب حاشیه نویز امن مدار می‌شود. برای حل این گونه مشکل‌ها روش‌های جدیدی در برخی از پژوهش‌ها را ارائه شده است [۸] و [۹]. این پژوهش‌ها با استفاده از اصول ضرب‌کننده‌های تقریبی با عملکرد متفاوت پیشنهاد می‌کنند. این پژوهش‌ها بر روی تراشه‌های ASIC طراحی شده‌اند و به دلیل تفاوت‌های بین معماری تراشه‌های ASIC و FPGA، پیشرفت این تکنیک‌ها در صورت ترکیب مستقیم برای سیستم‌های مبتنی بر تراشه‌های FPGA، کارایی محدودی را به همراه دارند [۱۰]. به همین دلیل برای تأکید بیشتر بر نیاز به طراحی واحدهای تقریبی مبتنی بر تراشه‌های FPGA، مطالعاتی نظری [۱۱] و [۱۲] انجام شده است.

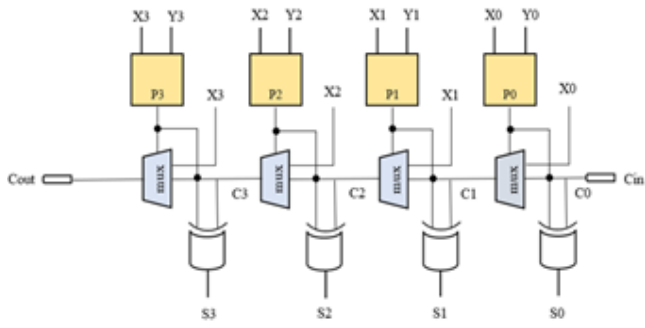
همچنین در پژوهش‌های پیشین طرح‌های زیادی برای تقریبی کردن جمع‌کننده‌ها ارائه شده است [۱۳] و [۱۴].

در این مقاله، یک شبادهنده شبکه عصبی عمیق از نوع شبکه عصبی کانولوشنی بر بستر تراشه‌های FPGA پیشنهاد شده که با تقریبی‌سازی بخش محاسبات، توان مصرفی تراشه را کاهش می‌دهد. هدف این پژوهش طراحی و پیاده‌سازی شبادهنده‌های شبکه عصبی در FPGA در کاربردهای هوش مصنوعی با استفاده از محاسبات تقریبی برای کاهش توان مصرفی می‌باشد. با توجه به ساختار شبکه عصبی کانولوشنی و حجم بالای پارامترهای این شبکه، جهت کاهش حجم محاسبات و کاهش توان مصرفی آن از ایده تقریبی‌سازی^۸ بیت از ۱۰ بیت مانتبس اعداد ممیز شناور در بخش محاسبات جمع‌کننده شبادهنده استفاده شده است. تقریب مورد نظر پیچیدگی محاسباتی را کاهش داده و باعث بهبود توان مصرفی با حفظ دقت شبکه شده است.

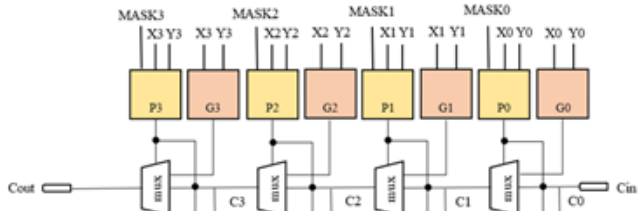
جهت پیاده‌سازی شبکه عصبی و آموزش شبکه از ابزار متلب استفاده شده است. سپس با توجه به شبکه آموزش دیده در متلب و پارامترهای بدست‌آمده از آن، شبادهنده در سطح انتقال ثبات با استفاده از زبان توسعی سختافزار وریل‌اگ طراحی و در محیط ویوادو^۹ پیاده‌سازی شده و نهایتاً سنتر واحدها در محیط ویوادو انجام شده است. در این پژوهش از تراشه‌ها و ابزارهای شرکت زایلینکس^{۱۰} استفاده گردیده است.

- 3. Software
- 4. Hardware
- 5. Fixed-Point
- 6. Maskable Carry Adder
- 7. Carry-Maskable Adder

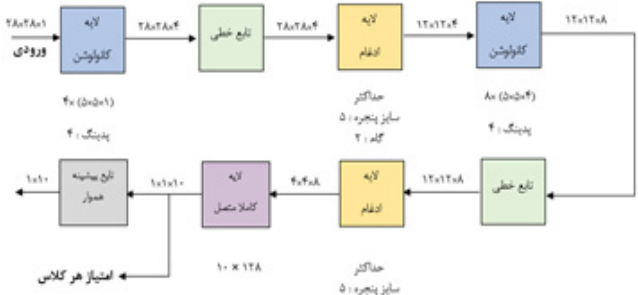
- 1. Vivado
- 2. Xilinx



شکل ۴: جمع‌کننده دقیق ۴‌بیتی با زنجیره رقم نقلی [۲۱].



شكل ۲: جمع‌کننده تقریبی ۴‌بیتی [۱۶].



شکل ۵: معماری شبکه عصبی کانولوشنی تشخیص ارقام دستنویس.

نشان می‌دهد. واحد زنجیره رقم نقلی از ۴ مالتی‌پلکسر، ۴ دروازه XOR و ۴ جدول جستجو تشکیل شده است. در جمع کننده دقیق هر جدول جستجو XOR دو ورودی را محاسبه می‌کند؛ در نتیجه، رقم نقلی از طریق جداول جستجو منتشر نمی‌شود. نهایتاً این پژوهش با استفاده از جمع کننده تقریبی، جمع کننده شکل ۴ را ارائه داده که در این جمع کننده از زنجیره رقم نقلی استفاده شده است [۲۱].

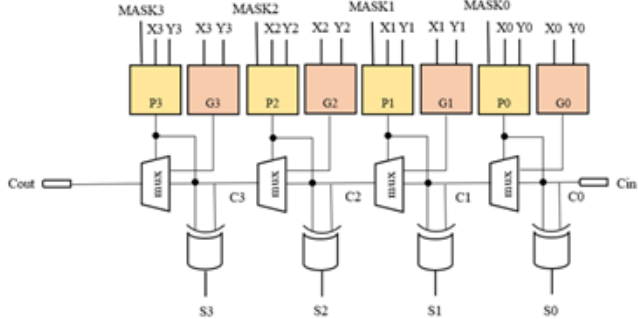
[۲۲] با تمرکز بر تکرارهای محاسباتی در پردازش داده‌ها و عملیات در شبکه‌های عصبی کانولوشنی، روشی برای کاهش مصرف انرژی ارائه می‌دهد. این روش عملیات مشابه در فیلترها را شناسایی می‌کند و تنها آنها را یک بار اجرا می‌کند. سپس داده‌های پردازش شده را برای سایر محاسبات باز استفاده می‌کند. حذف این تکرارها یا اشتراک‌گذاری محاسبات با کاهش بار محاسباتی و کاهش مصرف حافظه، منابع سخت‌افزاری را آزاد می‌کند. روش بیشنهادی توانسته است با حفظ دقت توان پویا شتاب‌دهنده را 10.79% تا 12.17% کاهش دهد. همچنین زمان اجرای لایه‌های مختلف را کاهش داده و باعث افزایش سرعت پردازش شده است.

۳- پیاده‌سازی شتاب‌دهنده تقریبی کم‌توان

در این بخش، طراحی معماری شتابدهنده شبکه عصبی کانولوشنی در محیط متلب و پیاده‌سازی آن با زبان توصیف سخت‌افزار وریلایگ در محیط وبادو شرح داده شده است.

۱-۳ طراحی شبکه عصبی کانولوشنی تشخیص ارقام دستنویس

در این مقاله برای طراحی و آموزش شبکه عصبی کانولوشنی از جعبه ابزار یادگیری ماشین در محیط متلب استفاده شده است. متلب یک ابزار پر کاربرد برای یادگیری ماشین است و چندین توابع داخلی، جعبه ابزار و کتابخانه برای پشتیبانی از یادگیری ماشین ارائه می دهد. معماری مدل در شکل ۵ نشان داده شده است. شبکه عصبی کانولوشنی برای طبقه بندی



شکل ۳: تمام جمکننده قابل پوشاندن رسم نقلی [۱۵].

رقم نقلی، یک نیم جمع کننده و ۷ تمام جمع کننده استفاده شده است. در شکل ۲ مدار یک جمع کننده تقریبی Cin نشان داده شده است. در این جمع کننده، علاوه بر دو عدد ورودی X و Y و رقم نقلی Cin ، یک ورودی جدید برای کنترل دقت به نام $MASK$ تعییه شده است. روابط خروجی هر بلوک در عملیات جمع تقریبی در (۱) و (۲) نشان داده شده است.

$$P = (X.Y.MASK) + (X \text{ } ??? \text{ } Y) \quad (1)$$

$$G = X.Y \quad (\mathfrak{I})$$

هنگامی که مقدار بیت *MASK*، باشد جمع کننده جم دقيق را انجام می‌دهد. هنگامی که مقدار بیت *MASK* ۱ باشد جمع کننده با جلوگیری از انتشار رقم نقلی از بیت پایین به بیت بالا، جم تقریبی را انجام می‌دهد. در حالت تقریبی، نتیجه جم حاصل جم منطقی (OR) دو ورودی است؛ پس عدم انتشار بیت نقلی باعث کاهش توان مصرفی و تأخیر می‌شود. در این جمع کننده با ۱ قراردادن *MASK* بیت‌های وزن پایین بر روی ۱ و *MASK* بیت‌های وزن بالا بر روی ۰، بیت‌های وزن بالا به طور دقیق محاسبه می‌شوند و بیت‌های وزن پایین به صورت تقریبی محاسبه می‌شوند؛ بنابراین با کنترل *MASK* بر اساس کاربرد می‌توان مصالحه‌ای ایست دقت، تأخیر و مصرف انبوی، بقا کرد (شکا ۳).

در [۲۰] CMA برای تراشه‌های ASIC طراحی گردیده است و نحوه پیاده‌سازی CMA بر روی تراشه‌های FPGA بررسی نشده است. اگر عبارات بولی CMA به اینزرهای سنتر تراشه‌های FPGA داده شود، هر تمام جمع کننده آن به یک یا دو جدول جست‌وجو نگاشت می‌شود. در این حالت، جداول جست‌وجو به صورت سری به هم متصل می‌شوند. این پیاده‌سازی از نظر تأخیر و مصرف انرژی بهینه نیست؛ زیرا جداول جست‌وجو تأخیر و توان مصرفی بالایی دارند. به همین دلیل [۲۱] روشی برای پیاده‌سازی CMA بر روی تراشه‌های FPGA ارائه داده است.

۳-۳ پیاده‌سازی شبکه عصبی کانولوشنی تشخیص ارقام دستنویس

در این پژوهش ابتدا مدل دقیق شبکه عصبی کانولوشنی و سپس مدل تقریبی آن شرح داده می‌شود. در شکل ۸ ساختار کلی مدل و سلسه‌مراتب آن نشان داده شده است. این شبکه به ترتیب دارای واحدهای کانولوشن، تابع فعال ساز (ReLU)، ادغام و کاملاً متصل می‌باشد.

در این مدل، خروجی هر واحد، ورودی واحد بعدی آن است که هر واحد با یک‌شدن سیگنال شروع خود فعال می‌شود.

ورودی‌های شبکه شامل سیگنال تکیتی پالس ساعت، ریست و سیگنال شروع می‌باشد. خروجی شبکه شامل ۱۶ بیت نشان‌دهنده امتیاز هر کلاس و سیگنال اتمام کار شبکه است. در این شبکه ۷۸۴ پیکسل تصویر ورودی (۱۶ بیتی) در یک حافظه RAM ذخیره می‌شوند و بعد از یک‌شدن سیگنال فعال سازی شبکه، پیکسل‌ها به صورت سریالی از حافظه خوانده و به واحد کانولوشن ارسال می‌شوند.

برای پیاده‌سازی عملیات حسابی این شبکه مانند جمع و ضرب، یک واحد جمع‌کننده و ضرب کننده ممیز شناور پیاده‌سازی شده است. در این دو واحد ورودی‌ها (۲ ورودی) اعداد ۱۶ بیتی شامل ۱ بیت (بیت علامت)، ۵ بیت نما و ۱۰ بیت مانتیس است. همان‌طور که در شکل ۹ نشان داده شده است، بیت علامت خروجی با انجام عملیات XOR بر روی بیت علامت ورودی‌ها به دست می‌آید. سپس برای انجام عملیات ضرب یا جمع بعد از یکسان‌سازی نمایه، ضرب یا جمع انجام می‌شود. نهایتاً پس از انجام نرم‌افزاری خروجی نهایی تولید می‌شود.

خروجی اصلی شبکه، شامل ۱۰ عدد ۱۶ بیتی می‌باشد که خروجی هر نورون امتیاز آن کلاس را به ترتیب نشان می‌دهد. کلاسی که دارای بالاترین امتیاز است نشان‌دهنده کلاس صحیح می‌باشد.

۴-۳ طراحی جمع‌کننده تقریبی

در مطالعات اخیر پژوهش‌های زیادی در سطوح مختلف طراحی از ترازنریستور تا معماری بر روی مدارهای محاسباتی تقریبی انجام شده است. در این مقاله برای تقریب‌سازی شبکه عصبی کانولوشن تشخیص ارقام دستنویس، با هدف کاهش توان مصرفی و حفظ دقت مطلوب از جایگذاری جمع‌کننده تقریبی به جای جمع‌کننده دقیق استفاده شده است. دلیل انتخاب این جمع‌کننده قابلیت کنترل دقت مورد نیاز در تقریب‌سازی بر اساس کاربرد است. در ادامه به بررسی روش ارائه شده و مدل تقریبی شبکه عصبی پرداخته شده است.

۵-۳ جمع‌کننده و تفریق‌کننده تقریبی

در شکل ۱۰ روابط جمع‌کننده دقیق و تقریبی نشان داده شده است. جمع‌کننده تقریبی استفاده شده در این مقاله بر اساس روابط جدول ۱ روش تقریب‌سازی ارائه شده است. در این روش تقریب‌سازی در جمع و تفریق مانتیس اعداد ورودی، در جمع‌کننده ممیز شناور انجام می‌شود.

برای تقریب‌سازی در این پژوهش و رسیدن به دقت لازم شبکه و بهبود توان مصرفی از ایده تقریب‌سازی نیمی از بیت‌های مانتیس اعداد ممیز شناور استفاده شده است. دلیل استفاده از این ایده در تقریب‌سازی در ادامه شرح داده شده است. پیکسل‌های تصویر ورودی ۷۸۴ عدد بین ۰ تا ۲۵۵ هستند که در ابزار متلب به اعدادی بین ۰ و ۱ تبدیل شده‌اند. در مجموعه تصاویر ارقام دستنویس به طور حدودی می‌توان گفت نیمی از پیکسل‌های هر تصویر، کمتر از حد وسط بازه [۰, ۲۵۵] و نیمی دیگر بیشتر از حد وسط بازه می‌باشند. به همین دلیل پیش‌بینی می‌شود که با



شکل ۶: مجموعه تصاویر ارقام دستنویس (MNIST).

اعداد دستنویس طراحی و پیاده‌سازی شده و شامل لایه‌های کانولوشن^۱، لایه ادغام^۲، لایه کاملاً متصل^۳ و تابع ReLU^۴ می‌باشد. در این پژوهش برای آموزش و آزمودن شبکه از مجموعه تصاویر ارقام دستنویس (MNIST) استفاده شده است. ورودی شبکه یک عکس سیاه و سفید از ارقام دستنویس با ابعاد ۲۸×۲۸ پیکسل می‌باشد. هر پیکسل یک تصویر خاکستری است؛ به همین دلیل ورودی شبکه یک ماتریس دو بعدی از اعداد است که هر عدد مقداری بین ۰ و ۲۵۵ دارد که توسط ابزار متلب تبدیل به اعداد بین ۰ و ۱ شده‌اند. مقدار صفر معادل با رنگ سیاه و مقدار ۲۵۵ معادل با رنگ سفید است. همان‌طور که در شکل ۶ نشان داده شده است، هر عکس نشان‌دهنده یکی از اعداد ۰ تا ۹ از دیتابaset MNIST می‌باشد و خروجی شبکه شامل ده کلاس (۰ تا ۹) است که هر کلاس امتیاز کسب شده توسط آن کلاس را نشان می‌دهد.

۲-۳ آموزش شبکه عصبی کانولوشنی تشخیص ارقام دستنویس

آموزش شبکه شامل تنظیم وزن نورون‌های شبکه برای حداقل کردن نقاوت بین خروجی پیش‌بینی شده و خروجی واقعی است. این امر از طریق فرایندی به نام انتشار روبه‌جلو^۵ به دست می‌آید که الگوریتمی برای محاسبه گرادیان تابع هزینه با توجه به وزن‌هاست. شکل ۷ نشان‌دهنده فرایند آموزش در محیط متلب می‌باشد. همان‌طور که در شکل نشان داده شده است، فرایند آموزش برای شبکه عصبی کانولوشنی تشخیص ارقام دستنویس در ۱۰ دوره تکرار می‌شود و هر دوره شامل یک گذر کامل از مجموعه داده آموزشی است. در هر دوره پس از فرایند انتشار روبه‌جلو، با استفاده از تابع هزینه خطای خروجی محاسبه می‌شود.

پس از محاسبه خطای خروجی، در فرایند پس انتشار مشتق تابع هزینه محاسبه می‌شود و نهایتاً با استفاده از یک الگوریتم بهینه‌سازی مانند تابع گرادیان نزولی تصادفی^۶ (SGD) وزن‌ها به روزرسانی می‌شوند. وزن نورون‌ها پس از هر دسته از نمونه‌های آموزشی به روزرسانی می‌شود.

در طول فرایند آموزش، شبکه یاد می‌گیرد که ویژگی‌های مهم ارقام دستنویس را شناسایی و آنها را در یکی از ده کلاس طبقه‌بندی کند. در شکل ۷ دو نمونار دقت و خطای شبکه عصبی نشان می‌دهند وزن‌های شبکه به گونه‌ای تنظیم می‌شوند که با کاهش خطای مدل دقیق‌تری در طول زمان ایجاد شود. دقت تست شبکه عصبی کانولوشنی تشخیص ارقام دستنویس در این مدل ۹۸٪ می‌باشد.

1. Convolution Layer

2. Pooling Layer

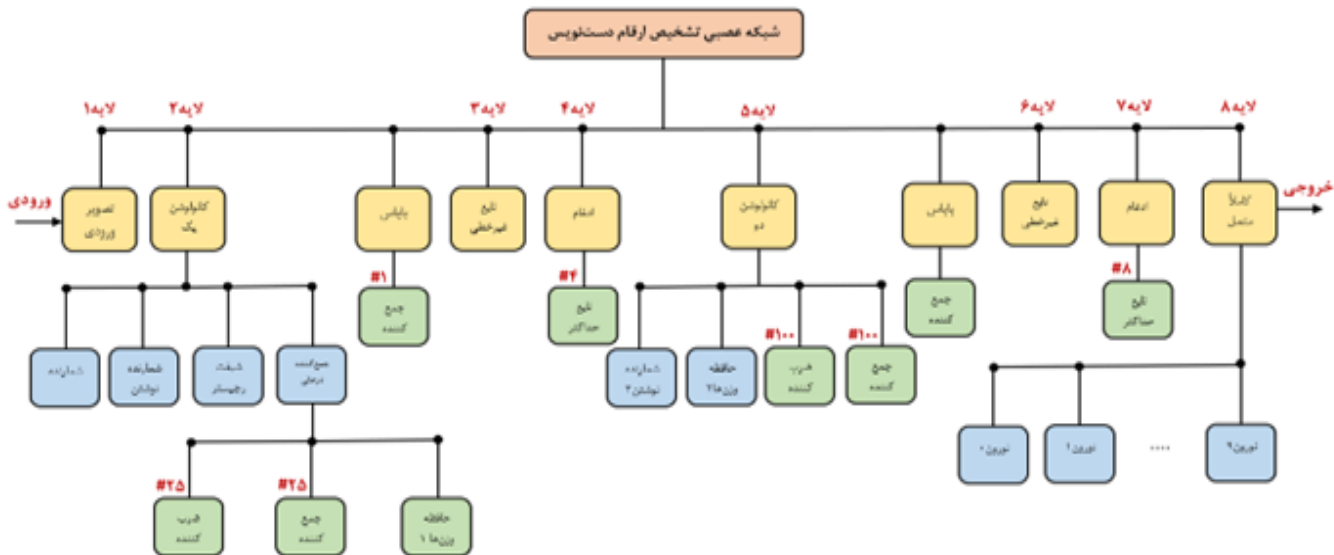
3. Fully Connected Layer

4. Feed-Forward

5. Stochastic Gradient Descent



شکل ۷: فرایند آموزش شبکه عصبی کانولوشنی تشخیص ارقام دستنویس.



شکل ۸: معماری شبکه عصبی کانولوشنی تشخیص ارقام دستنویس.

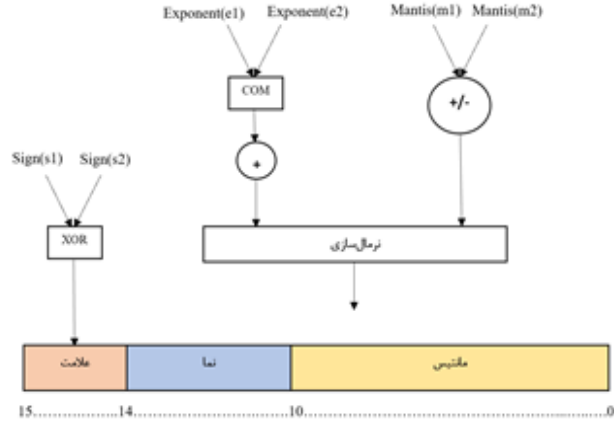
جدول ۱: روابط جمع و تفریق تقریبی.

	عملیات جمع	عملیات تفریق
P	$P = x + y$	$P = x - y$
G	$G = x \cdot y$	$G = \frac{x}{y}$
S	$\text{??? } Cin ? P$	$\text{??? } Bin ? P$
$Cout / Bout$	$P = 0 \rightarrow G$ $P = 1 \rightarrow Cin$	$P = 0 \rightarrow Bin$ $P = 1 \rightarrow G$

شود. در شکل‌های ۱۱ و ۱۲، تقریب‌سازی جمع کننده و تفریق کننده در شبکه تشخیص ارقام دستنویس در ۶ بیت نشان داده شده است. این مدل برای تراشه‌های FPGA طراحی شده و برای انتشار رقم نقلی از واحد زنجیره رقم نقلی استفاده می‌کند.

از ایده جمع کننده تقریبی در انجام عملیات جمع و تفریق در واحد حسابی جمع ممیز شناور استفاده شده است. همان طور که گفته شد، در جدول ۱ روابط استفاده شده برای هر بیت در جمع و تفریق دو ورودی در جمع کننده تقریبی آمده است. این جمع کننده در واحد جمع کننده ممیز شناور بعد از یکسان‌سازی نمایها برای جمع و تفریق مانتیس‌ها استفاده می‌شود. در واقع در واحد جمع و تفریق ممیز شناور با هدف کاهش توان مصرفی بهجای استفاده از عملگر $+$ و $-$ ، از این واحدهای تقریبی استفاده شده است.

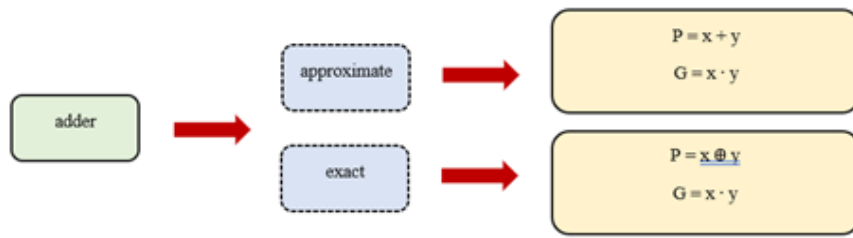
در جدول ۲، جدول درستی برای مقایسه نتایج بیتی جمع کننده تقریبی پیشنهادی و جمع کننده دقیق نشان داده است. نتایج نشان می‌دهند



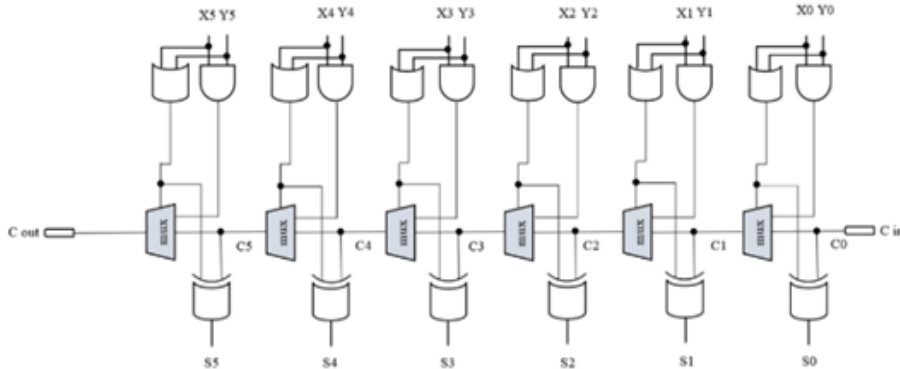
شکل ۹: ساختار واحد جمع کننده ممیز شناور.

تقریبی کردن نیمی از ۱۱ بیت مانتیس جمع کننده (۶ بیت وزن پایین)، حداقل ۵۰٪ از اعداد دچار خطا نشوند. منظور از خطا تبدیل شدن اعداد مثبت به منفی و بالعکس می‌باشد.

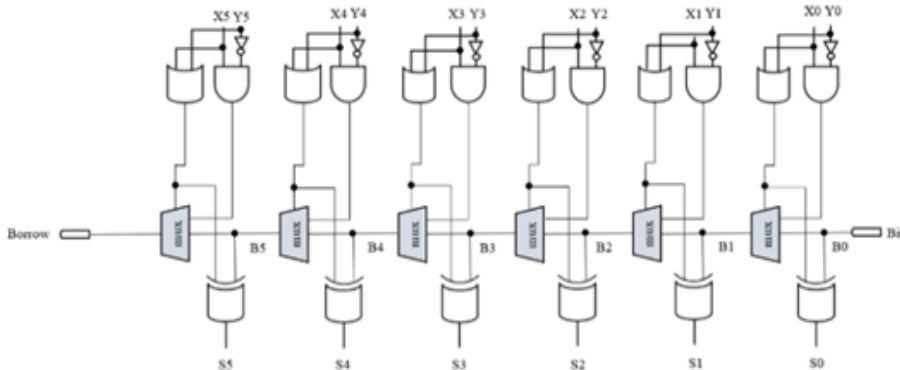
در این شبکه واحد ReLU نقش بسیار مهمی در عملیات تقریب‌سازی شبکه عصبی کانولوشنی تشخیص ارقام دستنویس دارد؛ زیرا حد آستانه در این مازول ۰ می‌باشد. اگر تعداد اعداد دارای خطا زیاد باشد، واحد ReLU اعدادی که با خطا تبدیل به منفی شده‌اند را صفر و اعدادی که مثبت شده‌اند را بدون تغییر برمی‌گرداند. نهایتاً با انتشار خطا، دقت شبکه کاهش می‌یابد و ممکن است منجر به تشخیص اشتباه در برخی کلاس‌ها



شکل ۱۰: روابط جمع کننده تقریبی و دقیق.



شکل ۱۱: جمع کننده تقریبی عیتی.



شکل ۱۲: تفریق کننده تقریبی عیتی.

آزمودن شبکه عصبی از ۱۰ تصویر تصادفی (هر عکس از یک کلاس) در دو محیط متبادر و بیوادو به دست آمده و با هم مقایسه شده‌اند. دیتابست تشخیص ارقام دستنویس شامل ۶۰۰۰۰ تصویر برای فرایند آموزش و ۱۰۰۰ تصویر برای فرایند آزمودن شبکه می‌باشد. همان طور که در بخش ۳ شکل ۷ نشان داده شده است، نتایج بدست آمده دقت شبکه را ۹۸٪ نشان می‌دهد. همچنین نتایج نشان می‌دهند که امتیازهای هر کلاس در هر دو محیط مشابه هستند. جدول ۳ نتایج امتیاز کلاس‌ها را در محیط بیوادو نشان می‌دهد. در جدول ۳ هر ستون، امتیازات مربوط به یک کلاس را نشان می‌دهد و بزرگترین عدد هر ستون نشان دهنده کلاس خروجی است. به طور مثال در ستون چهارم، تصویر ورودی شبکه عصبی تشخیص ارقام دستنویس عدد ۴ می‌باشد. بزرگترین عدد ستون چهارم (کلاس ۴) است که نشان دهنده کلاس صحیح می‌باشد.

برای انجام عملیات شبیه‌سازی و سنتر از برد Vertex-7 و تراشه FPGA از همان خانواده استفاده شده است. جدول ۴ درصد منابع مصرفی از این تراشه را نمایش می‌دهد. جدول ۵ توان مصرفی شبکه عصبی کانولوشنی تشخیص ارقام دستنویس در حالت بدون تقریب را با فرکانس ۵۰ مگاهرتز توسط ابزار بیوادو نشان می‌دهد.

جدول ۲: مقایسه جدول درستی جمع کننده حالت تقریبی و حالت دقیق.

ورودی‌ها	دقیق						تقریبی					
	x	y	Cin	P	G	S	Cout	P	G	S	Cout	
۰	۰	۰	۰	۰	۰	۰	۰	۰	۰	۰	۰	۰
۰	۰	۱	۰	۰	۱	۰	۰	۰	۰	۱	۰	۰
۰	۰	۰	۱	۰	۱	۰	۰	۱	۰	۱	۰	۰
۰	۱	۱	۱	۰	۰	۱	۱	۱	۰	۰	۱	۰
۱	۰	۰	۱	۰	۱	۰	۰	۱	۰	۱	۰	۰
۱	۰	۱	۱	۰	۰	۱	۱	۱	۰	۰	۱	۰
۱	۱	۰	۰	۱	۰	۱	۱	۱	۱	۱	۰	۰
۱	۱	۱	۰	۱	۱	۰	۱	۱	۱	۰	۰	۱

که جمع کننده تقریبی در مقایسه با جمع کننده دقیق، زمانی که دو بیت ورودی ۱ هستند، دارای خطاست.

۴- ارزیابی

۴-۱ نتایج شبکه عصبی کانولوشنی تشخیص ارقام دستنویس بدون تقریب

در این بخش، نتایج امتیاز کلاس‌های حاصل از فرایند آموزش و

جدول ۳: نتایج شبیه‌سازی شبکه تشخیص ارقام دستنویس در محیط ویوادو.

شماره کلاس	۰	۱	۲	۳	۴	۵	۶	۷	۸	۹
۰	۱۶/۷۶	-۲/۸۷	۵/۴۱	۲/۵۴	-۹/۲۲	-۳/۲۳	۷/۸۲	۱/۰۹	۰/۷۰۵	-۲/۸۲
۱	-۷/۵۴	۱۴/۳۳	۷/۷۹	-۴/۰۸	۷/۰۹	-۴/۸۵	-۶/۰۲	۰/۵۴	-۷/۳۷	-۳/۹۱
۲	۴/۶۰	۰/۴۷	۱۷/۲۲	۸/۸۰۷	-۱/۶۹	۰/۲۷	۲/۱۳	۷/۲۱	-۰/۳۱	-۳/۳۰۹
۳	۰/۰۹	-۲/۶۲	۰/۹۵	۱۵/۸۲	-۸/۰۰۴	-۲/۷۹	۲/۳۸	-۰/۶۴	۴/۴۱	-۰/۹۸
۴	-۵/۲۷	۵/۶۸	-۴/۰۱	-۹/۰۳	۱۶/۸۸	-۴/۳۲	-۷/۳۳	۰/۰۷	-۸/۴۳	۰/۵۶
۵	۴/۲۸	۱/۰۳	-۲/۱۸	۷/۶۰۱	-۰/۵۱	۱۱/۷۳	۲/۴۲	۲/۱۷	۵/۳۱	۰/۰۳
۶	۱۰/۰۴	۰/۴۸	۶/۷۶	-۲/۳۴	-۲/۹۵	۰/۶۱	۱۸/۳۱	-۱/۰۹۲	-۰/۹۹	-۶/۶۸
۷	-۷/۹۳	۵/۴۳	-۴/۰۴	-۲/۶۵	۸/۱۶	-۱/۹۸	-۹/۴۸	۲۱/۱۹	-۶/۳۶	۸/۷۴
۸	۳/۵۳	-۱/۶۰	۰/۰۷	۲/۹۳	۶/۷۶	۴/۹۳	۵/۰۴	-۰/۸۰۹	۱۰/۹۸	۵/۳۱
۹	۱/۲۰۵	۱/۷۶	۱/۲۷	۱/۳۲	۱۱/۷۰۲	۰/۴۷	-۰/۱۱	۱۲/۲۴	۵/۴۳	۱۴/۸۲

جدول ۴: درصد منابع مصرفی شبکه عصبی کانولوشنی تشخیص ارقام دستنویس در حالت بدون تقریب.

جدول ۵: درصد توان مصرفی شبکه عصبی کانولوشنی تشخیص ارقام دستنویس در حالت بدون تقریب.

توان مصرفی: W				
I/O	DSP	BRAM	logic	سیگنال
۰/۰۰۱	۰/۰۵۱	۰/۰۰۱	۰/۵۸۰	۰/۶۰۴
۰/۳۳۵ W		۱/۳۰۶ W		

منبع	منابع در دسترس	منابع مصرفی	درصد منابع مصرفی
LUT واحد	۳۴۶۴۰۰	۱۸۵۰۴	۵۳/۸۴
LUTRAM واحد	۱۷۴۲۰۰	۶۴	۰/۰۴
فلیپ‌فلاپ	۶۹۲۸۰۰	۷۸۰۸۱	۱۱/۲۷
DSP واحد	۲۸۸۰	۱۳۵	۴/۶۹

جدول ۶: نتایج حاصل از تقریب‌سازی ۶ بیت.

شماره کلاس	۰	۱	۲	۳	۴	۵	۶	۷	۸	۹
۰	۱۶/۹۹	-۲/۰۳	۶/۲۴	۵/۲۴	-۴/۹۱	-۱/۶۵	۸/۴۹	۱/۷۴	۰/۴۳	۰/۷۳
۱	-۲/۵۳	۱۲/۹۹	۷/۷۴	-۰/۸۱	۸/۲۴	-۰/۹۸	-۱/۸۶	۳/۸۷	-۲/۱۷	۱۶/۹۸
۲	۴/۷۴	۰/۴۶	۱۲/۴۹	۷/۷۴	-۱/۶۱	-۰/۴۲	۲/۲۵	۸/۴۹	-۰/۲۸	۷/۷۴
۳	۱/۷۴	-۰/۰۵	۱/۵۶	۱۵/۴۹	-۵/۴۶	-۰/۰۶	۴/۱۲	-۰/۱۰۸	۴/۲۴	-۱/۷۱
۴	-۱/۰۲	۴/۹۹	-۱/۰۴	-۱/۳۹	۱۴/۹۹	۰/۲۴	-۳/۹۰۲	۳/۳۷	-۳/۳۵	۹/۹۹
۵	۳/۸۷	۱/۸۱	-۰/۰۳	۸/۹۹	۰/۰۰۹	۹/۹۹	۲/۹۹	۱/۹۹	۵/۴۲	۲۹/۹۸
۶	۳/۷۸	۰/۳۴	۷/۴۹	۰/۰۰۵	-۰/۸۴	۱/۰۶	۱۴/۹۹	-۵/۶۶	۰/۶۴	-۲/۳۷
۷	-۶/۰۷	۵/۳۵	-۱/۸۲	-۰/۵۸	۶/۸۷	-۱/۰۵	-۵/۷	۱۹/۹۸	-۴/۳۲	۷/۷۴
۸	۴/۲۴	۰/۳۳	۷/۱۲	۵/۹۹	۸/۹۹	۸/۹۹	۵/۴۹	۰/۸۸	۱۰/۴۶	-۰/۴۱
۹	۳/۶۲	۳/۱۷	۲/۶۲	۲/۰۶	۱۲/۴۹	-۳/۲۴	۱/۱۲	۱۳/۹۹	۶/۲۳	۳۳/۹۷

از اعداد دچار خطا نشوند. در نتیجه برای تقریب‌سازی شبکه تشخیص ارقام دستنویس و دستیابی به دقت لازم و تشخیص کلاس صحیح، تقریب‌سازی ۶ بیت از ۱۱ بیت مانتبیس آزموده شده است.

جدول ۶ نتایج حاصل از تقریب‌سازی ۶ بیت بر روی کلاس‌های ۰ تا ۹ را نشان می‌دهد و هر ستون نشان‌دهنده امتیازهای مربوط به آن کلاس است.

نتایج نشان می‌دهد که با تقریب‌سازی ۶ بیت از ۱۱ بیت، دقت شبکه تشخیص ارقام دستنویس حفظ می‌شود. در جدول ۷ درصد منابع مصرفی شبکه عصبی کانولوشنی از تقریب‌سازی ارقام دستنویس نشان داده شده است. همچنین در جدول ۸ مقایسه‌ای از توان مصرفی کل شبکه عصبی تشخیص ارقام دستنویس در حالت تقریبی و حالت دقیق (بدون نظر گرفتن بیت‌های تقریبی) نشان داده شده است.

مقایسه نتایج دو حالت بدون تقریب و با تقریب نشان می‌دهد که با تقریب‌سازی ۶ بیت در شبکه عصبی کانولوشنی تشخیص ارقام دستنویس به دلیل کاهش تعداد دروازه‌ها، توان مصرفی پویا در بخش منطق و سیگنال‌ها بهبود چشمگیری دارد و نهایتاً توان مصرفی کل ۴۳٪/۷۵ کاهش می‌یابد. حال برای بهبود بیشتر توان مصرفی،

جدول ۷: درصد منابع مصرفی کل شبکه عصبی کانولوشنی تشخیص ارقام دستنویس در حالت تقریبی.

منبع	منابع در دسترس	منابع مصرفی	درصد منابع مصرفی
LUT واحد	۳۴۶۴۰۰	۱۷۴۳۴	۵۰/۳۳
LUTRAM واحد	۱۷۴۲۰۰	۶۴	۰/۰۴
فلیپ‌فلاپ	۶۹۲۸۰۰	۷۸۰۶۸	۱۱/۲۸
DSP واحد	۲۸۸۰	۱۳۵	۴/۶۹

۴-۲ نتایج شبکه عصبی تشخیص ارقام دستنویس تقریبی

همان طور که در بخش سوم ذکر شد، برای پیاده‌سازی عملیات حسابی مانند جمع و ضرب، یک واحد جمع‌کننده و ضرب‌کننده ممیز شناور پیاده‌سازی شده است. در این روش برای تقریب‌سازی شبکه عصبی از جایگذاری جمع‌کننده تقریبی به جای جمع‌کننده دقیق استفاده شده است. همان طور که در بخش ۳ شرح داده شد، پیش‌بینی می‌شود با تقریبی کردن نیمی از ۱۱ بیت مانتبیس جمع‌کننده ۶ بیت وزن پایین، حداقل ۵۰٪.

جدول ۸: مقایسه توان مصرفی کل شبکه عصبی کانولوشنی تشخیص ارقام دستنویس حالت بدون تقریب و حالت تقریبی.

توان مصرفی شبکه عصبی کانولوشنی تشخیص ارقام دستنویس									
دقیق					تقریبی				
۱,۶۴۱					۰,۹۲۳				
ایستا		پویا			ایستا		پویا		
۰,۳۳۵		۱,۳۰۶			۰,۳۲۹		۰,۵۹۴		
I/O	DSP	BRAM	logic	سیگنال	I/O	DSP	BRAM	logic	سیگنال
۰,۰۰۱	۰,۰۵۱	۰,۰۰۱	۰,۰۸۰	۰,۰۶۰	۰,۰۰۱	۰,۰۲۷	۰,۰۰۱	۰,۲۴۸	۰,۲۴۷

جدول ۹: نتایج حاصل از تقریب‌سازی ۷ بیت.

شماره کلاس	۰	۱	۲	۳	۴	۵	۶	۷	۸	۹
۰	۱۱,۹۹	-۰,۹۰۹	۵,۹۹	۴,۴۹	-۲,۶۵	-۰,۳۴	۷,۹۹	۱,۱۲	۰,۸۱	۰,۵۳
۱	-۰,۶۷	۱۰,۹۹	۷,۹۹	۰,۶۸	۶,۹۹	۰,۳۲	-۰,۳۴	۵,۴۹	-۰,۵۳	۱,۹۹
۲	۳,۲۴	-۰,۹۹	۱۲,۹۹	۶,۹۹	-۰,۳۸	-۰,۹۹	-۰,۸۷	۷,۹۹	۱,۰۶	۳,۷۴
۳	۱,۹۹	۰,۶۸	۳,۹۹	۱۹,۹۸	-۲,۹۶	۱,۸۷	۵,۹۹	-۰,۲۳	۶,۹۹	۰,۶۲
۴	۰,۶۲	۴,۴۹	۰,۴۰۵	۰,۷۴	۱۲,۹۹	۲,۳۷	-۰,۳۶	۴,۷۴	-۰,۵۲	۸,۴۹
۵	۵,۴۹	۲,۴۹	-۰,۰۰۷	۷,۴۸	۱,۱۲	۱۰,۹۹	۳,۷۴	۲,۹۹	۴,۴۹	۱۷,۹۸
۶	۷,۴۹	۰,۲۸	۵,۴۹	-۰,۰۰۲	-۰,۶۸	۲,۴۹	۱۱,۹۹	-۳,۲۹	-۰,۴۲	-۱,۴۳
۷	-۲,۳۷	۴,۹۹	-۰,۰۰۰۶	۴,۴۹	۹,۹۹	-۰,۳۴	-۴,۱۲	۱۷,۹۸	-۲,۷۴	۳,۴۹
۸	۵,۹۹	۱,۰۹	۴,۴۹	۵,۴۹۶	۸,۹۹	۱,۴۹	۵,۹۹	-۰,۷۴	۱۰,۴۹	۱۷,۹۸
۹	۳,۷۴	۴,۲۴	۲,۹۹	۳,۷۴۸	۱۵,۹۹	۴,۴۹	۲,۹۹	۱۱,۹۹	۸,۹۹	۱۷,۹۸

جدول ۱۰: نتایج تقریب‌سازی جمع کننده روی بیت‌های مختلف.

کلاس	دقیق۱۱۰۱۱۱۰۰۱۰۱
۰	۱,۰۳	۱,۰۳	۱,۰۶	۱,۰۵	۱,۰۸	۱,۰۸	۱,۰۴
۱	۰,۴۴	۰,۴۴	۰,۵۶	۰,۵۹	۰,۶۷	۰,۶۳	۰,۶۹
۲	۷/۱۱	۷/۱۱	۷/۱۳	۷/۰۹	۷/۰۱	۶/۹۴	۶/۹۴
۳	-۰,۶۹	-۰,۷۱	-۰,۶۹	-۰,۶۸	-۰,۷۳	-۰,۷۰۱	-۰,۸۳۴
۴	۰,۰۸	۰,۰۸	۰,۱۹	۰,۲۸	۰,۳۸	۰,۴۱	۰,۶۱
۵	۲/۱۳	۲/۱۳	۲/۱۳	۲/۱۱	۲/۱۵	۲/۱۱	۲/۱۶
۶	-۱۰,۸۹	-۱۰,۸۹	-۱۰,۶۸	-۱۰,۵۲	-۱۰,۱۹	-۱۰,۳۷	-۱۰,۲۳
۷	۲۱,۱۱	۲۱,۱۱	۲۱,۱۳	۲۱,۱۱	۲۰,۷۳	۲۱,۳۶	۲۰,۹۸
۸	-۰,۷	-۰,۷	-۰,۶۶	-۰,۵۶	-۰,۵۰۹	-۰,۶۱۲	-۰,۵۰۳
۹	۱۲,۳۶	۱۲,۳۶	۱۲,۳۷	۱۲,۴۶	۱۲,۳۳	۱۲,۵۱	۱۲,۵۷

میزان بهبود دقت و کاهش توان مصرفی در شرایط مشابه می‌باشد. همان‌طور که در جدول ۱۲ نشان داده شد است، روش پیشنهادی با ۴۳٪ توان مصرفی در تقریب‌سازی ۷ بیت از ماتیس آزموده شده است. نتایج حاصل از تقریب‌سازی ۷ بیت از ۱۰ بیت ماتیس آزموده شده است. نتایج حاصل از

جدول ۹ نشان می‌دهد تقریب‌سازی ۷ بیت در برخی از کلاس‌ها دچار تشخیص اشتباه می‌شود. این مشکل ناشی از آن است که بیش از نیمی از بیت‌های ماتیس تقریبی شده و در زمان انجام عملیات جمع، خطأ در واحد کانولوشن انتشار می‌باید. سپس در خروجی کانولوشن برخی از اعداد مثبت را تبدیل به منفی و برخی از اعداد منفی را مثبت می‌کند.

در نهایت انتشار این خطأ باعث تشخیص کلاس اشتباه می‌شود و نتایج نشان می‌دهد با افزایش تعداد بیت‌های تقریبی‌سازی شده از ۶ بیت به ۷ بیت، با ایجاد ۲۰٪ خطأ توان مصرفی ۴۴٪ کاهش می‌باید.

جدول ۱۰ و ۱۱ نتایج خروجی شبکه کانولوشنی حاصل از تقریبی‌سازی بیت‌های مختلف را بر روی ورودی تصویر رقم دستنویس ۷ نشان می‌دهد. همان‌طور که پیش‌بینی می‌شد با توجه به حفظ دقت شبکه در تقریبی‌سازی ۶ بیت، در تقریب‌سازی با سایر بیت‌های کمتر از ۶ کلاس درست شناسایی شده است.

بهمنظور بررسی عملکرد روش پیشنهادی، نتایج به دست آمده در این مقاله با نتایج [۱۹] و [۲۲] مقایسه شده است. هدف از این مقایسه، ارزیابی

۵- نتیجه‌گیری

یکی از پرکاربردترین مباحث در زمینه یادگیری ماشین، شبکه‌های عصبی هستند. در این شبکه‌ها برای رسیدن به دقت بالا در خروجی، تعداد پارامترهای شبکه (وزن‌ها) افزایش می‌یابند و باعث افزایش حجم پردازش داده‌های شبکه می‌شوند؛ پس نیاز به تسریع پردازش داده‌های شبکه است.

جدول ۱۱: نتایج تقریب سازی جمع کننده روی بیت های مختلف.

کلاس	دقیق۱۱۰۱۱۱۱۰۰۱۱۱۱۱۱۱۱۱۱۱۱۱۱۱۱۱۱
۰	۱/۰۳	۱/۱۰	۱/۱۴	۱/۰۱	۰/۹۷	۰/۷۹	۱/۷۴	۱/۱۲
۱	۰/۴۴	۰/۸۳	۰/۸۲	۰/۸۱	۱/۶۴	۲/۳۷	۳/۸۷	۵/۴۹
۲	۷/۱۱	۷/۱۲	۷/۰۲	۶/۹۳	۶/۹۹	۷/۱۲	۸/۴۹	۷/۹۹
۳	-۰/۷۱	-۰/۷۳	-۰/۶۰۱	-۰/۷۴	-۰/۵۵	-۰/۷۱	-۰/۱۰۸	-۰/۲۳
۴	۰/۰۸	۰/۶۶	۰/۷۹	۰/۷۱	۱/۳۷	۲/۱۸	۳/۳۷	۴/۷۴
۵	۲/۱۳	۲/۱۶	۲/۱۹	۲/۱۳	۲/۲۰۹	۲/۱۴	۱/۹۹	۲/۹۹
۶	-۱۰/۸۹	-۱۰/۰۶	-۹/۶۸	-۱۰/۱۳	-۸/۹۳	-۷/۶۶	-۵/۶۶	-۳/۲۹
۷	۲۱/۱	۲۱/۱۱	۲۰/۸۶	۲۰/۸۶	۲۰/۹۸	۲۰/۹۸	۱۹/۹۸	۱۷/۹۸
۸	-۰/۶۹	-۰/۴۷	-۰/۳۴	-۰/۳۸	-۰/۰۹	۰/۵۰۳	۰/۸۸	-۰/۷۴
۹	۱۲/۳۶	۱۲/۵۸	۱۲/۴۳	۱۲/۶۲	۱۲/۴۹	۱۳/۲۴	۱۳/۹۹	۱۱/۹۹

مراجع

- [1] Y. Qian, *et al.*, "Approximate logic synthesis in the loop for designing low-power neural network accelerator," in *Proc. IEEE Int. Symp. on Circuits and Systems*, 5 pp., Daegu, Korea, 22-28 May 2021.
- [2] M. S. Ansari, B. F. Cockburn, and J. Han, "An improved logarithmic multiplier for energy efficient neural computing," *IEEE Trans. on Computers*, vol. 70, no. 4, pp. 614-625, Apr. 2020.
- [3] www.altera.com
- [4] M. Hamdan, "VHDL auto-generation tool for optimized hardware acceleration of convolutional neural networks on FPGA (VGT)," A thesis submitted to the graduate faculty, Iowa State University, 2018.
- [5] C. L. Giles and C. W. Omlin, "Pruning recurrent neural networks for improved generalization performance," *IEEE Trans. on Neural Networks*, vol. 5, no. 5, pp. 848-851, Sept. 1994.
- [6] M. S. Ansari, B. F. Cockburn, and J. Han, "An improved logarithmic multiplier for energy-efficient neural computing," *IEEE Trans. on Computers*, vol. 70, no. 4, pp. 614-625, Apr. 2021.
- [7] F. Li, Y. Lin, and L. He, "FPGA power reduction using configurable dual-Vdd," in *Proc. of the 41st Annual Design Automation Conf.*, pp. 735-740, San Diego, CA, USA, 7-11 Jun. 2004.
- [8] K. Yin Kyaw, W. Ling Goh, and K. Seng Yeo, "Low-power high-speed multiplier for error-tolerant application," in *Proc. IEEE Int. Conf. of Electron Devices and Solid-State Circuits*, 4 pp., Hong Kong, China, 15-17 Dec. 2010.
- [9] S. S. P. Goswami, B. Paul, S. Dutt, and G. Trivedi, "Comparative review of approximate multipliers," in *Proc. 30th Int. Conf. Radioelektronika*, 6 pp., Bratislava, Slovakia, 15-16 Apr. 2020.
- [10] M. Vasudevan and C. Chakrabarti, "In image processing using approximate datapath units," in *Proc. IEEE Int. Symp. on Circuits and Systems*, pp. 1544-1547, Melbourne, Australia, 1-5 Jun. 2014.
- [11] S. Ullah, *et al.*, "Area-optimized low-latency approximate multipliers for FPGA-based hardware accelerators," in *Proc. 55th ACM/ESDA/IEEE Design Automation Conf.*, 6 pp., San Francisco, CA, USA 24-28 Jun. 2018.
- [12] S. Ullah, S. Rehman, M. Shafique, and A. Kumar, "High-performance accurate and approximate multipliers for FPGA-based hardware accelerators," *IEEE Trans. on Computer-Aided Design of Integrated Circuits and Systems*, vol. 41, no. 2, pp. 211-224, Feb. 2021.
- [13] K. Nepal, Y. Li, R. I. Bahar, and S. Reda, "Automated high-level synthesis of low power/area approximate computing circuits," *First Workshop on Approximate Computing Across the System Stack*, 6 pp., Salt Lake City, UT, USA, 2-2 Mar. 2014.
- [14] Y. Kim, Y. Zhang, and P. Li, "An energy efficient approximate adder with carry skip for error resilient neuromorphic VLSI systems," in *Proc. IEEE/ACM Int. Conf. on Computer-Aided Design*, pp. 130-137, San Jose, CA, USA, 18-21 Nov. 2013.
- [15] R. Venkatesan, A. Agarwal, K. Roy, and A. Raghunathan, "MACACO: modeling and analysis of circuits for approximate computing," in *Proc. IEEE/ACM Int. Conf. on Computer-Aided Design*, pp. 667-673, 7-10 Nov. 2011.
- [16] D. P. Williamson and D. B. Shmoys, *The Design of Approximation Algorithms*, Cambridge University Press, vol. 1, pp. 14-15, 2011.
- [17] H. Esmailzadeh, A. Sampson, L. Ceze, and D. Burger, "Architecture support for disciplined approximate programming," in *Proc. Intl. Conf. Architectural Support for Programming Languages and Operating Systems*, pp. 301-312, London, UK, 3-7 Mar. 2012.

جدول ۱۲: بررسی عملکرد روش پیشنهادی.

صرفی پژوهش	دیتاست	دقیق	بهبود تأخیر	بهبود توان
Zhisheng, et al. [۱۹]	MNIST	%۹۸/۱۹	%۲۱/۱۵	%۳۲/۷۷
Piyasena, et al. [۲۲]	MNIST	%۹۹/۹	-	%۱۰/۷۹
روش پیشنهادی	MNIST	%۱۰۰	%۵۰/۱۱	%۴۳/۷۵

یکی از روش های تسربی الگوریتم های شبکه های عصبی، استفاده از شبکه های سخت افزاری است. معمولاً از یک بستر همه منظوره مانند طراحی ASIC به دلیل انعطاف پذیری بسیار کم و پیچیدگی طراحی در کاربردهای خاص منظوره استفاده می شود. به همین جهت در این مقاله برای پیاده سازی شبکه عصبی کانولوشنی از بستر تراشه های FPGA (به نظر مصرف انرژی چالش هایی دارند). یکی از روش های کاهش توان مصرفی استفاده از مفهوم محاسبات تقریبی در تراشه های FPGA همچنین مطالعات نشان داده اند در شبکه های عصبی قابلیت تحمل پذیری خطای می تواند وجود داشته باشد که این امر زمینه را برای به کار گیری محاسبات تقریبی مناسب می سازد.

در این مقاله از شبکه عصبی کانولوشنی برای تشخیص ارقام دست نویس استفاده شده است. برای تسربی محاسبات، این شبکه تشخیص ارقام دست نویس بر روی یک تراشه FPGA پیاده سازی شده است. ایده تقریب سازی برای کاهش توان مصرفی در بخش عملیات جمع پیاده سازی شده است. با استفاده از روش پیشنهادی و تقریب سازی ۶ بیت از ۱۰ بیت جمع مانتبس اعداد ممیز شناور به علت ساده سازی مدار در سطح گیت با حفظ دقت لازم پیچیدگی محاسبات شبکه کاهش می یابد و همچنین توان مصرفی %۴۳/۷۵ بهبود می یابد. با افزایش تعداد بیت تقریب سازی از ۶ بیت به ۷ بیت با ایجاد %۲۰ خط، توان مصرفی %۴۴/۹۱ کاهش می یابد که این میزان خط با توجه به توان مصرفی مناسب نیست و تقریب سازی روی ۶ بیت مناسب تر است.

۶- کارهای آینده

ضرب کننده ها در واحد های محاسباتی شبکه های عصبی، کاربرد و مصرف انرژی بالایی دارند؛ به همین دلیل به نظر می رسد که با پژوهش بر روی تقریب سازی ساختار ضرب کننده های شبکه های عصبی کانولوشنی می توان توان مصرفی را باز هم بیشتر بهبود داد. همچنین می توان استفاده از مدارهای محاسباتی تقریبی را برای سایر انواع شبکه های یادگیری عمیق با هدف بهبود مصرف انرژی، مساحت یا کارایی بررسی کرد.

امیر باوفای طوسی با هدف شکستن مرز دانش‌های عملی و تجربی در مهندسی کامپیوتر بهمنظور حل مشکلات صنعتی کشور و پرورش دانشجویان با مهارت از سال ۱۳۷۹ همکاری خود را با دانشکده کامپیوتر دانشگاه سجاد آغاز نمود. وی از سال ۱۳۸۱ مدیر گروه دانشکده کامپیوتر دانشگاه سجاد و فارغ‌التحصیل دکتری مهندسی کامپیوتر از دانشگاه صنعتی امیرکبیر در سال ۱۳۹۹ می‌باشد. نامبرده با تدریس دروس آزمون المپیاد کامپیوتر همچون معماري کامپیوتر، مدارهای منطقی و سیستم‌عامل با همکاری سایر استادی سجاد دانشجویانی پژوهش داده است که از سال ۱۳۹۰ تاکنون هر سال در آزمون نهایی المپیاد دانشجویی رتبه‌های تکریمی و کمتر از ۵۰ کشور و در آزمون کارشناسی ارشد کامپیوتر از سال ۱۳۸۱ تاکنون رتبه‌های دورقمی و برتر کشور را کسب می‌کنند. ایشان مقام دوم پژوهش‌های توسعه‌ای در بیستمین جشنواره بین‌المللی خوارزمی و دارای US Patent می‌باشد. ایشان با عقد قرارداد صنعتی در سال ۱۳۹۰ آزمایشگاه پژوهشی ESRL را تأسیس نمود. زمینه‌های تحقیقاتی ایشان عبارت‌اند از: FPGA و سنتر دیجیتال، شتاب‌دهنده‌های هوش مصنوعی، کاربردهای پردازش تصویر، سیستم‌های هوشمند، پردازش‌های سریع و برنامه‌نویسی موازی، اینترنت اشیاء، سیستم‌های توزیع شده و محاسبات ابری می‌باشد.

مهدى صدیقی در سال ۱۳۶۹ مدرک کارشناسی مهندسی برق گرایش سخت‌افزار کامپیوتر خود را از دانشگاه صنعتی شریف، و در سال‌های ۱۳۷۳ و ۱۳۷۷ و ۱۳۷۹ مدرک کارشناسی ارشد و دکترای خود را در رشته مهندسی برق و کامپیوتر از دانشگاه کلارادو در بولدر آمریکا دریافت نمود. در فاصله سال‌های ۱۳۷۵ تا ۱۳۸۰ ایشان به عنوان طراح ارشد دستگاه‌های دیجیتال در شرکت‌های مختلفی در درجه سیلیکون به کار مشغول بود. از سال ۱۳۸۰ تاکنون دکتر صدیقی عضو هیأت‌علمی دانشکده مهندسی کامپیوتر و فناوری اطلاعات دانشگاه صنعتی امیرکبیر می‌باشد. زمینه‌های علمی مورد علاقه ایشان شامل محاسبات کوانتومی، سنتر دستگاه‌های حسابی، و دستگاه‌های نهفته می‌باشد.

- [18] K. Lengwehasatit and A. Ortega, "Scalable variable complexity approximate forward DCT," *IEEE Trans. on Circuits and Systems for Video Technology*, vol. 14, no. 11, pp. 1236-1248, Nov. 2004.
- [19] Z. Li, et al., "Laius: an 8-bit fixed-point CNN hardware inference engine," in Proc. IEEE Int. Symp. on Parallel and Distributed Processing with Applications and IEEE Int. Conf. on Ubiquitous Computing and Communications, pp. 143-150, Guangzhou, China, 12-15 Dec. 2017.
- [20] T. Yang, T. Sato, and T. Ukezono, "An accuracy-configurable adder for low-power applications," *IEICE Trans. on Electronics*, vol. E103-C, no. 3, pp. 68-76, 2020.
- [21] M. Sano, et al., "An accuracy-controllable approximate adder for FPGAs," in Proc. 4th Int. Symp. on Advanced Technologies and Applications in the Internet of Things, pp. 60-66, Ibaraki, Japan 24-26 Aug. 2022.
- [22] D. Piyasena, R. Wickramasinghe, D. Paul, S. Lam, and M. Wu, "Reducing dynamic power in streaming CNN hardware accelerators by exploiting computational redundancies," in Proc. 29th Int. Conf. on Field Programmable Logic and Applications, pp. 354-359, Barcelona, Spain, 8-12 Sept. 2019.

نادیا سهرابی تحصیلات خود را در مقطع کارشناسی مهندسی کامپیوتر در سال ۱۳۹۹ از دانشگاه صنعتی شاهروд به پایان رسانده و در سال ۱۴۰۲ موفق به اخذ مدرک کارشناسی ارشد مهندسی کامپیوتر با گرایش معماری کامپیوتر از دانشگاه صنعتی امیرکبیر گردیده است. وی در طول دوران تحصیل خود بر حوزه‌های مرتبط با طراحی دستگاه‌های دیجیتال و سخت‌افزارهای هوش مصنوعی تمرکز داشته است. زمینه‌های تحقیقاتی مورد علاقه وی شامل طراحی سخت‌افزارهای کم‌صرف، شتاب‌دهنده‌های هوش مصنوعی، معماری دستگاه‌های یادگیری عمیق، و پیاده‌سازی الگوریتم‌های یادگیری ماشین بر بستر FPGA می‌باشد.